



Fundação Oswaldo Cruz. Escola Nacional de Saúde Pública

Projeto: Modelagem de doenças transmissíveis: contexto, clima e espaço

Modelagem espaço-temporal das notificações de leptospiroses em Salvador entre 1996 e 2006

Romy Ravines

romy@fiocruz.br

Marcel Quintana

marcel@fiocruz.br

Marilia Carvalho

carvalho@fiocruz.br

7 de novembro de 2007

- Apresentação disponível no Wiki do LEG: <http://www.leg.ufpr.br/doku.php/pessoais:romy> -

1 Introdução

2 Análise Mensal

- Dados epidemiológicos
 - Especificação de Modelos
 - Comparação de Modelos
- Modelos de Séries de Tempo
- Modelos de Regressão
 - Análise de Componentes Principais
- Modelos de Regressão Univariados
- Modelos de Regressão Multivariados
 - Sobre el DIC

3 Análise Semanal

- Dados epidemiológicos
- Modelos de Séries de Tempo
- Modelos de Regressão Univariados
- Modelos de Regressão Multivariados

4 Análise Espacial

Dados epidemiológicos

- Fonte: Estudo LVIGI “**Estudo de identificação de pacientes com leptospirose grave identificados no Hospital Couto Maia em Salvador-BA,**” do projeto “**Emerging Infectious Diseases and Urbanization**” (Fiocruz-Salvador & Universidade de Cornell/USA).
- Período: **20/03/1996 a 19/03/2006.**
- Número de pacientes: **1766** (Banco gerado no dia 08/02/2007).
- Critérios de inclusão dos pacientes: (1) Residente em Salvador. (2) Identificado pela vigilância ativa no HC Maia. (3) Teve alta/obito com suspeita clínica de leptospirose. (4) Identificado no período de 20/03/1996 a 19/03/2006.



Figura: Leptospirose



Figura: Salvador (BA)

Dados Climatológicos

- Fonte: **Estação 83229 (Ondina):**
Convencional - Operante - INMET
- Localização:
 - Latitude: 13°01'S
 - Longitude: 38°31'W
 - Altitude: 51,41 metros
- Variáveis:
 - **Precipitação (mm),**
 - **Temperatura Máxima (°C),**
 - **Temperatura Mínima (°C)**
 - **Umidade Relativa (%)**
- Período: **16/03/1996 - 25/03/2006**
- Frequência: Diária.

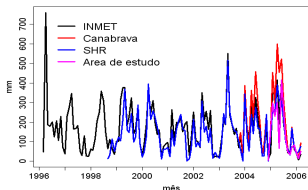
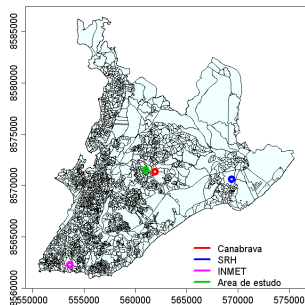


Figura: Precipitação mensal (mm)

Notas - Tratamento dos dados

- **Período analisado:** 19/03/1996 - 25/03/2006 = 121 meses: 1996.03 - 2006.03 e 524 semanas epidemiológicas: 1996.11 – 2006.12
- **Semana Epidemiológica:** A função `as.week()` da biblioteca `epitools` do R não deu a SE correta para 1996 e 1997, o ano que lista é a do dia da metade da semana, logo não permite identificar bem os inícios e finais de ano, nem os anos com 53 semanas. Usamos uma função própria com base na data juliana e os calendários da OMS.
- **Variáveis climatológicas utilizadas:** (1) Precipitação (mm), (2) Temperatura Máxima ($^{\circ}\text{C}$), (3) Temperatura Mínima ($^{\circ}\text{C}$), (4) Número de Dias com Chuva, (5) Número de Dias com Precipitação > 5mm, (6) Número de Dias com Precipitação > 10mm e (7) Número de Dias com Precipitação > 15mm. Não utilizamos Umidade(%) porque a série exibe uma diminuição no final da série (pesquisando....)
- **Dados Faltantes:** Foram completados com os valores “Normais” do INMET. Testamos a opção `na.gam.replace()` da biblioteca `gam`, mas não pareceu ser uma boa opção para completar por SE.
- **Duas análises:** mensal e semanal. Considerou-se a data de internamento (sem considerar dias com sintomas).
- **Procedimento de Inferência:** Abordagem bayesiana. Métodos MCMC com o `winbugs` (R2WinBUGS do R).

Dados epidemiológicos

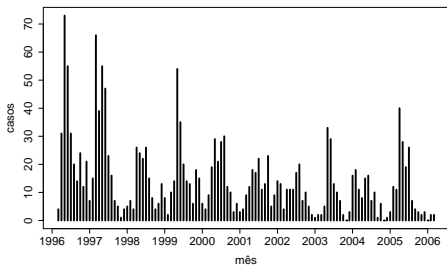
Número de casos de leptospirose grave em Salvador
entre março de 1996 e março de 2006

Figura: Time series

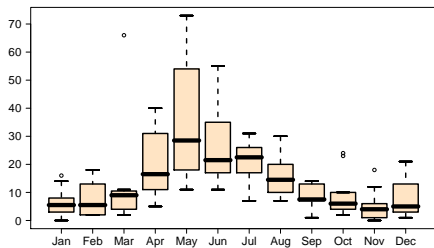


Figura: Box-Plot

Distribuição dos dados epidemiológicos?

Número de Casos

- Distribuição Poisson?
- Over-dispersion?
- Excesso de zeros?

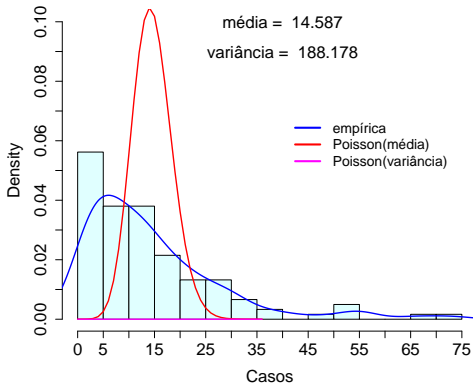


Figura: Casos mensais

Algumas distribuições possíveis

Poisson (*POIS*)

$$Y_t \sim \text{Poisson}(\lambda_t) \quad (1)$$

Negative Binomial (*NB : NB01, NB02*)

$$Y_t \sim \text{Poisson}(\mu_t) \quad Y_t \sim \text{Poisson}(\lambda_t \delta_t) \quad (2a)$$

$$\mu_t \sim \text{Gamma}(\tau, \tau / \lambda_t) \quad \delta_t \sim \text{Gamma}(\epsilon, \epsilon) \quad (2b)$$

Zero Inflated Poisson (*ZIP*)

$$Y_t \sim \pi_t \times \text{Poisson}(Y_t | \lambda_t) + (1 - \pi_t) \times \text{Poisson}(Y_t = 0 | \lambda_t) \quad (3a)$$

Zero Inflated Negative Binomial (*ZINB*)

$$Y_t \sim \pi_t \times \text{Poisson}(Y_t | \lambda_t \delta_t) + (1 - \pi_t) \times \text{Poisson}(Y_t = 0 | \delta_t \lambda_t) \quad (4a)$$

$$\delta_t \sim \text{Gamma}(\epsilon, \epsilon) \quad (4b)$$

Algumas especificações possíveis

- *First Order Model (FO)*

$$\log(\lambda_t) = \theta_t \quad (5a)$$

$$\theta_t = \theta_{t-1} + w_t, \quad w_t \sim N(0, W) \quad (5b)$$

- *Second Order Model (SO)*

$$\log(\lambda_t) = \theta_{1,t} \quad (6a)$$

$$\theta_{1,t} = \theta_{1,t-1} + \theta_{2,t-1} + w_{1t}, \quad w_{1t} \sim N(0, W_1) \quad (6b)$$

$$\theta_{2,t} = \theta_{2,t-1} + w_{2t}, \quad w_{2t} \sim N(0, W_2) \quad (6c)$$

- *Regression Model (X)*

$$\log(\lambda_t) = \beta_0 + \beta x_t \quad (7)$$

- *Zero inflated Model (ZI)*

$$\text{logit}(\pi_t) = \gamma_0 + \gamma z_t \quad (8)$$

Regressão Binomial Negativa

Parametrização I

$$y_t \sim NB\left(\tau, \frac{\tau}{\lambda_t + \tau}\right) \begin{cases} y_t \sim \text{Poisson}(\mu_t) \\ \mu_t \sim \text{Gamma}\left(\tau, \frac{\tau}{\lambda_t}\right) \end{cases} \quad (9)$$

$$\tau \sim \text{Gamma}(0.1, 0.1) \quad (10)$$

$$\log(\lambda_t) = \beta_0 + \beta_1 x_t \quad (11)$$

Parametrização II

$$y_t \sim NB\left(\epsilon, \frac{\epsilon}{\lambda_t + \epsilon}\right) \begin{cases} y_t \sim \text{Poisson}(\lambda_t \delta_t) \\ \delta_t \sim \text{Gamma}(\epsilon, \epsilon) \end{cases} \quad (12)$$

$$\epsilon \sim \text{Gamma}(0.1, 0.1) \quad (13)$$

$$\log(\lambda_t) = \beta_0 + \beta_1 x_t \quad (14)$$

Comparação de Modelos

- **Deviance (DEV)**

Para uma verossimilhança $p(y|\theta)$, o *deviance* é

$$D(\theta) = -2\log(p(y|\theta))$$

$\bar{D}(\theta)$ é uma medida de ajuste. Modelos mais complexos têm menor \bar{D} .

- **Deviance Information Criterion (DIC):**

$$DIC = \bar{D}(\theta) + pd = 2\bar{D}(\theta) + D(\bar{\theta})$$

- **Erro Quadrático Médio (EQM)**

$$EQM = \frac{1}{N} \sum_{i=1}^N (y_i - \hat{y})^2$$

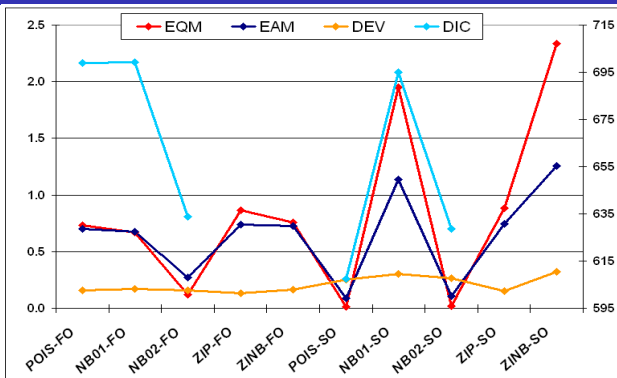
- **Erro Absoluto Médio (EAM)**

$$EAM = \frac{1}{N} \sum_{i=1}^N |y_i - \hat{y}|$$

- $AIC = -2\log p(y|\hat{\psi}) + 2p_{\psi}$ (falta!)

- $BIC = -2\log p(y|\hat{\psi}) + p_{\psi} \log n$ (falta!)

Número de Casos: MODELOS DE SÉRIES DE TEMPO



| | EQM | EAM | DEV | DIC |
|-----------|-------|-------|---------|---------|
| POIS – FO | 0.732 | 0.701 | 602.709 | 699.061 |
| NB01 – FO | 0.666 | 0.674 | 603.055 | 699.181 |
| NB02 – FO | 0.118 | 0.273 | 602.590 | 633.659 |
| ZIP – FO | 0.865 | 0.738 | 601.271 | |
| ZINB – FO | 0.755 | 0.727 | 602.896 | |
| POIS – SO | 0.014 | 0.089 | 607.017 | 607.347 |
| NB01 – SO | 1.951 | 1.133 | 609.622 | 694.886 |
| NB02 – SO | 0.019 | 0.107 | 607.595 | 628.632 |
| ZIP – SO | 0.880 | 0.743 | 602.189 | |
| ZINB – SO | 2.337 | 1.257 | 610.543 | |

Modelo de Série de Tempo Selecionado

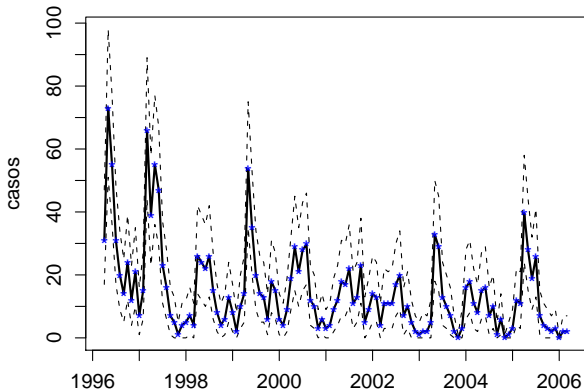


Figura: *Poisson Second Order Model*: valores replicados, \hat{y}_t .

Modelos de Primeira Ordem

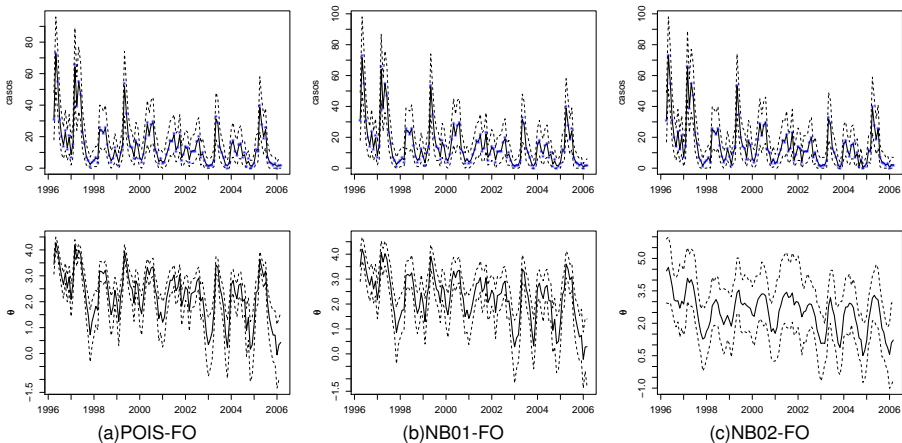


Figura: *First Order Model*: valores replicados, \hat{y}_t , e nível, θ_t .

Modelos de Segunda Ordem

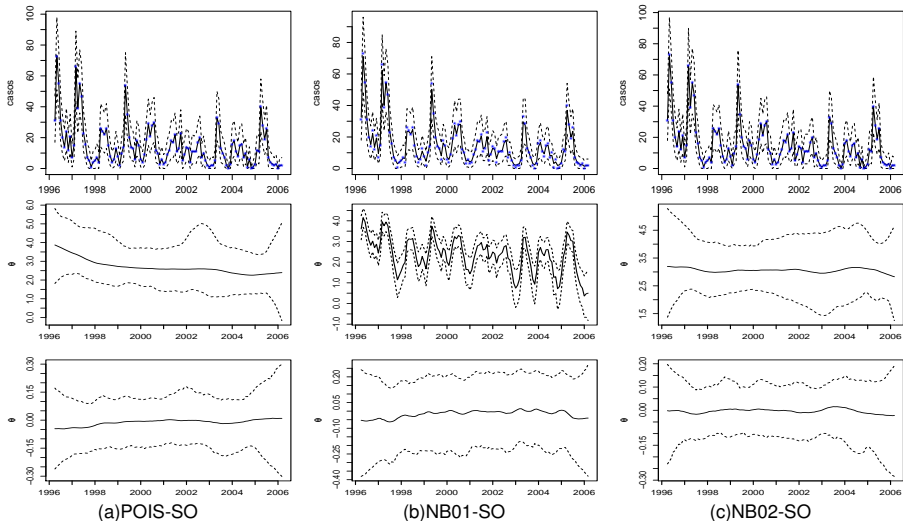
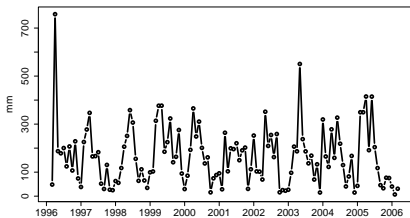


Figura: Second Order Model: valores replicados, \hat{y} , nível, θ_{1t} , e crescimento, θ_{2t} .

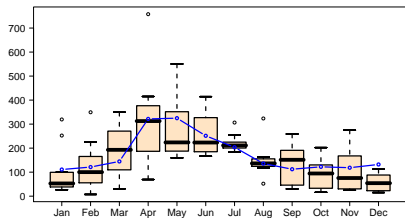
Comentários

- Os modelos de primeira ordem não são adequados. A tendência obtida exibe uma componente sazonal (cíclica).
- Os modelos de segunda ordem são melhores. Permitem representar melhor a tendência da série. Contudo, o parâmetro de crescimento fica não significativo.
- Falta testar a inclusão de uma componente sazonal. Vamos representar a sazonalidade com alguma variável climatológica.
- Os resultados são “sensíveis” à parametrização da distribuição binomial negativa utilizada.

Dados Climatológicos

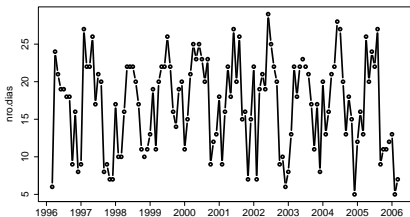


(a) Time series

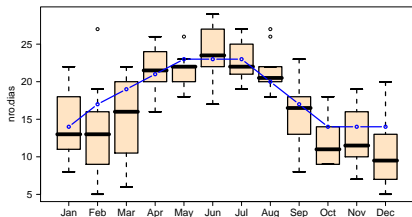


(b) Box-Plot

Figura: Precipitação



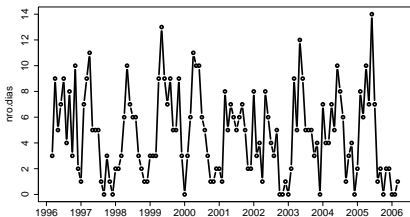
(a) Time series



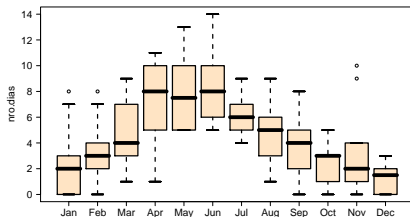
(b) Box-Plot

Figura: Número de Dias com Chuva

Variáveis climatológicas

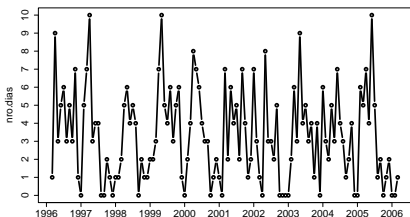


(a) Time series

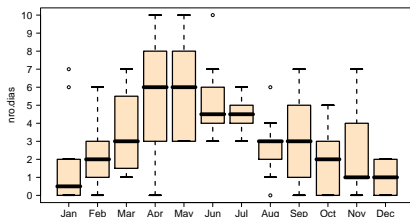


(b) Box-Plot

Figura: Dias com precipitação > 10



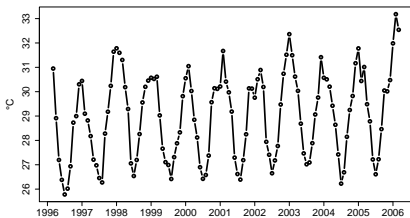
(a) Time series



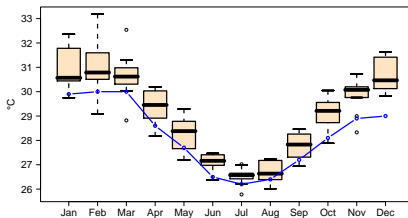
(b) Box-Plot

Figura: Dias com precipitação > 15

Variáveis climatológicas

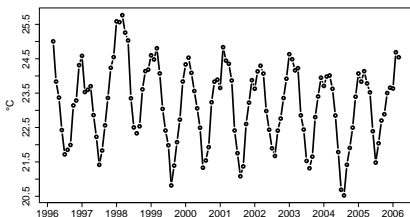


(a) Time series

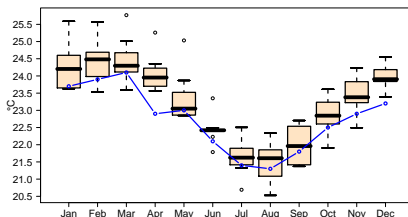


(b) Box-Plot

Figura: Temperatura Máxima



(a) Time series



(b) Box-Plot

Figura: Temperatura Mínima

Clima: Componentes Principais

Objetivo da Análise de Componentes Principais

Transformar um conjunto de p -variáveis X_1, X_2, \dots, X_p noutra de mesma dimensão, Z_1, Z_2, \dots, Z_p , mas com componentes ortogonais - não correlacionadas, representando diferentes dimensões nos dados.

- $Z_i = a_{i1}X_1 + a_{i2}X_2 + \dots + a_{ip}X_p$
- Z_1, Z_2, \dots, Z_p são obtidas com as condições de que:
 - $Var(Z_1) > Var(Z_2) > \dots > Var(Z_p)$
 - $Z_i \perp Z_j \quad \forall i, j$
- Espera-se que poucas componentes principais expliquem uma grande parcela da variabilidade total.
- Se as variáveis originais forem fortemente correlacionadas, então temos, em geral, uma expressiva redução da dimensionalidade. Por exemplo, podemos ter $p = 30$ variáveis originais expressas por apenas 2 ou 3 componentes.

Procedimento de Componentes Principais

Os principais passos para se obter as componentes principais são:

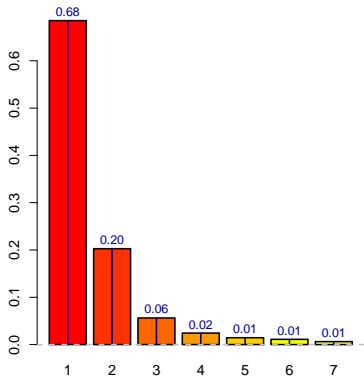
- 1 Padronizar as variáveis X_1, X_2, \dots, X_p ;
- 2 Calcular C - a matriz de correlação;
- 3 Determinar $\lambda_1, \lambda_2, \dots, \lambda_p$ - os autovalores de C - e obter os correspondentes autovetores; e
- 4 Descartar as componentes que expliquem pequenas proporções da variação dos dados.

Função princomp do R

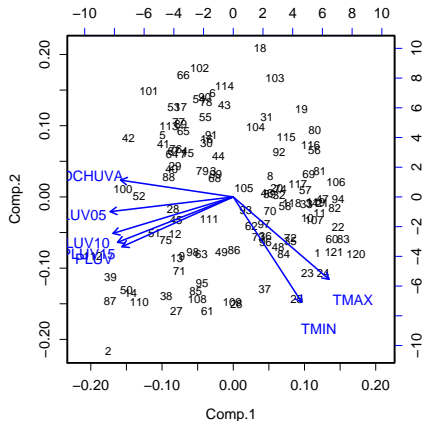
Notação: variáveis

| Label | Descrição |
|---------------|---------------------------------|
| <i>PLUV</i> | Precipitação (mm) |
| <i>DCHUVA</i> | Nro. de dias com chuva |
| <i>PLUV05</i> | Nro. de dias com $PLUV \geq 5$ |
| <i>PLUV10</i> | Nro. de dias com $PLUV \geq 10$ |
| <i>PLUV15</i> | Nro. de dias com $PLUV \geq 15$ |
| <i>TMAX</i> | Temperatura máxima |
| <i>TMIN</i> | Temperatura mínima |
| <i>IB1</i> | Índice de Clima 1 |
| <i>IB2</i> | Índice de Clima 2 |

Clima: Componentes Principais



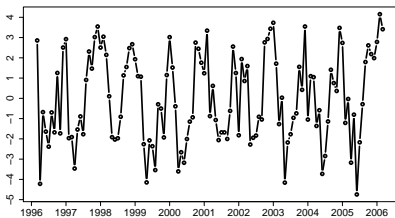
(a)Screenplot



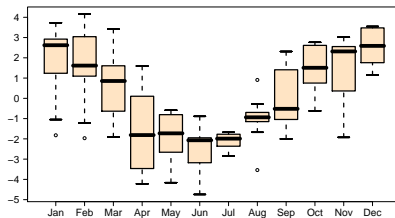
(b)Biplot

Figura: Índice de Clima

Clima: Componentes Principais

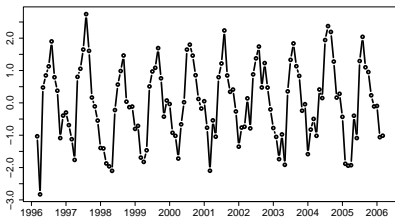


(a) Time series

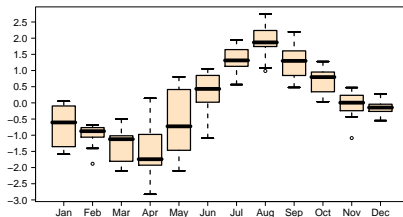


(b) Box-Plot

Figura: Índice de Clima 1

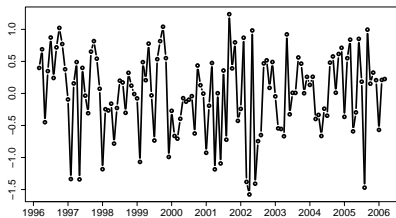


(a) Time series

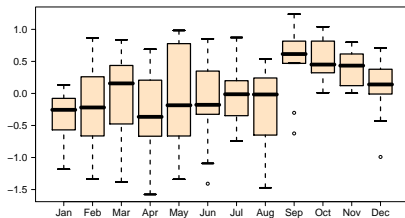


(b) Box-Plot

Clima: Componentes Principais

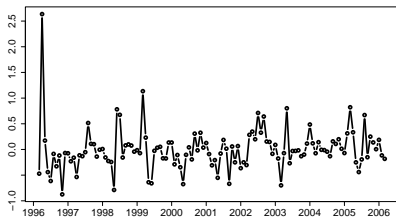


(a) Time series

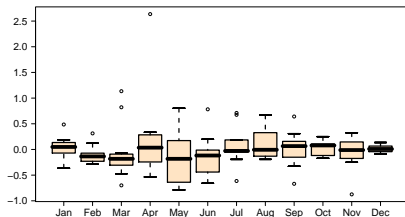


(b) Box-Plot

Figura: Índice de Clima 3



(a) Time series



(b) Box-Plot

Clima: Componentes Principais

| Correlações | <i>PLUV</i> | <i>DCHUVA</i> | <i>PLUV05</i> | <i>PLUV10</i> | <i>PLUV15</i> | <i>TMAX</i> | <i>TMIN</i> |
|---------------|-------------|---------------|---------------|---------------|---------------|-------------|-------------|
| <i>PLUV</i> | 1 | | | | | | |
| <i>DCHUVA</i> | 0.638 | 1 | | | | | |
| <i>PLUV05</i> | 0.788 | 0.856 | 1 | | | | |
| <i>PLUV10</i> | 0.843 | 0.705 | 0.875 | 1 | | | |
| <i>PLUV15</i> | 0.883 | 0.607 | 0.822 | 0.939 | 1 | | |
| <i>TMAX</i> | -0.395 | -0.666 | -0.595 | -0.505 | -0.446 | 1 | |
| <i>TMIN</i> | -0.174 | -0.473 | -0.370 | -0.273 | -0.231 | 0.859 | 1 |

| Loadings | Comp.1 | Comp.2 | Comp.3 | Comp.4 |
|---------------|---------------|---------------|---------------|---------------|
| <i>PLUV</i> | -0.389 | -0.320 | 0.212 | 0.804 |
| <i>DCHUVA</i> | -0.394 | 0.108 | -0.745 | 0.154 |
| <i>PLUV05</i> | -0.430 | | -0.320 | -0.256 |
| <i>PLUV10</i> | -0.420 | -0.234 | 0.166 | -0.464 |
| <i>PLUV15</i> | -0.404 | -0.292 | 0.401 | -0.207 |
| <i>TMAX</i> | 0.335 | -0.529 | -0.129 | |
| <i>TMIN</i> | 0.239 | -0.676 | -0.304 | |

| | Comp.1 | Comp.2 | Comp.3 | Comp.4 |
|------------------------|--------|--------|--------|--------|
| Standard deviation | 2.190 | 1.191 | 0.627 | 0.412 |
| Proportion of Variance | 0.685 | 0.203 | 0.056 | 0.024 |
| Cumulative Proportion | 0.685 | 0.888 | 0.944 | 0.968 |

MODELOS DE REGRESSÃO POISSON UNIVARIADOS

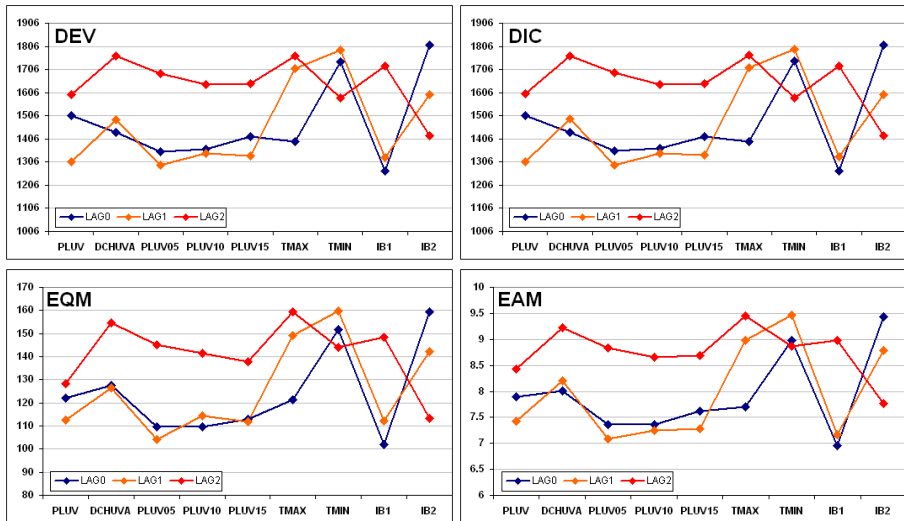


Figura: Comparação de Modelos de Regressão Poisson

MODELOS DE REGRESSÃO BINOMIAL NEGATIVA UNIVARIADOS

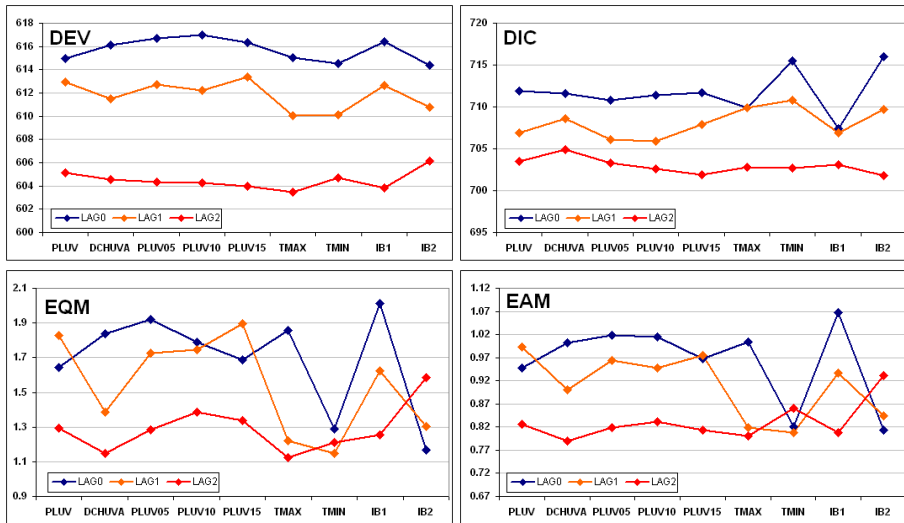


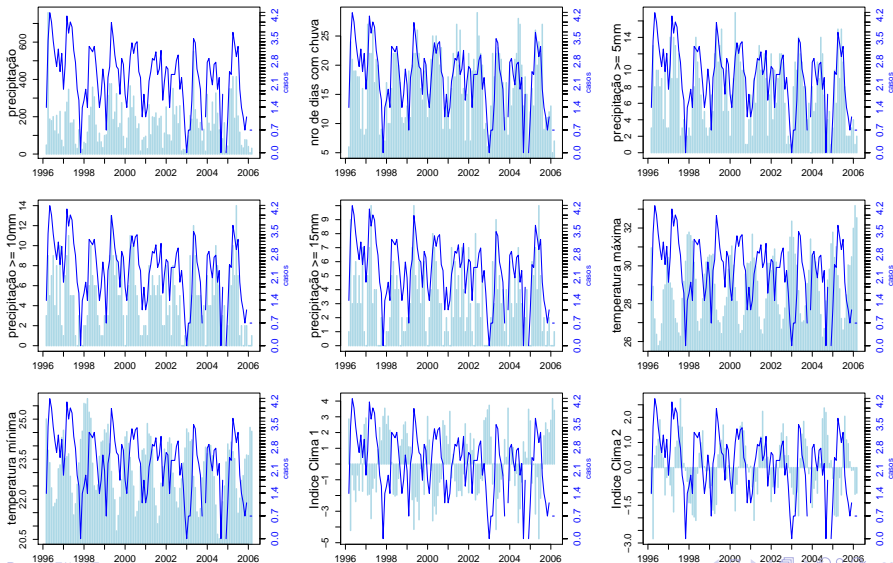
Figura: Comparação de Modelos de Regressão Binomial Negativa

Comparação de Modelos Univariados

| | POISSON | | | | | | BINOMIAL NEGATIVA | | | | | |
|---------------|---------|--------|--------|--------|--------|--------|-------------------|-------|-------|-------|-------|-------|
| | EQM | | | EAM | | | EQM | | | EAM | | |
| | LAG0 | LAG1 | LAG2 | LAG0 | LAG1 | LAG2 | LAG0 | LAG1 | LAG2 | LAG0 | LAG1 | LAG2 |
| <i>PLUV</i> | 122.20 | 112.70 | 128.30 | 7.901 | 7.427 | 8.432 | 1.642 | 1.828 | 1.295 | 0.947 | 0.992 | 0.827 |
| <i>DCHUVA</i> | 127.53 | 126.44 | 154.62 | 8.006 | 8.200 | 9.221 | 1.836 | 1.388 | 1.149 | 1.002 | 0.900 | 0.790 |
| <i>PLUV05</i> | 109.73 | 103.98 | 145.20 | 7.358 | 7.081 | 8.828 | 1.920 | 1.726 | 1.283 | 1.019 | 0.964 | 0.819 |
| <i>PLUV10</i> | 109.58 | 114.44 | 141.32 | 7.355 | 7.255 | 8.655 | 1.787 | 1.745 | 1.384 | 1.015 | 0.948 | 0.832 |
| <i>PLUV15</i> | 112.87 | 111.89 | 137.88 | 7.625 | 7.280 | 8.684 | 1.686 | 1.895 | 1.335 | 0.968 | 0.975 | 0.814 |
| <i>TMAX</i> | 121.50 | 149.11 | 159.47 | 7.694 | 8.987 | 9.451 | 1.859 | 1.223 | 1.124 | 1.004 | 0.819 | 0.800 |
| <i>TMIN</i> | 151.57 | 159.58 | 143.91 | 8.986 | 9.468 | 8.874 | 1.291 | 1.147 | 1.212 | 0.820 | 0.808 | 0.861 |
| <i>IB1</i> | 101.97 | 112.37 | 148.34 | 6.956 | 7.165 | 8.978 | 2.010 | 1.626 | 1.255 | 1.068 | 0.937 | 0.808 |
| <i>IB2</i> | 159.33 | 142.35 | 113.15 | 9.436 | 8.778 | 7.769 | 1.169 | 1.304 | 1.583 | 0.814 | 0.845 | 0.931 |
| | DEV | | | DIC | | | DEV | | | DIC | | |
| <i>PLUV</i> | 1505.8 | 1306.0 | 1597.7 | 1507.8 | 1308.0 | 1599.7 | 615.0 | 612.9 | 605.1 | 711.9 | 706.9 | 703.5 |
| <i>DCHUVA</i> | 1433.4 | 1489.6 | 1763.0 | 1435.4 | 1491.5 | 1765.0 | 616.1 | 611.5 | 604.5 | 711.6 | 708.6 | 704.9 |
| <i>PLUV05</i> | 1352.4 | 1292.5 | 1689.7 | 1354.4 | 1294.4 | 1691.6 | 616.7 | 612.8 | 604.3 | 710.8 | 706.1 | 703.3 |
| <i>PLUV10</i> | 1361.7 | 1341.7 | 1640.0 | 1363.6 | 1343.8 | 1642.0 | 617.0 | 612.2 | 604.3 | 711.4 | 705.9 | 702.6 |
| <i>PLUV15</i> | 1415.0 | 1333.0 | 1644.5 | 1417.0 | 1335.0 | 1646.5 | 616.3 | 613.4 | 604.0 | 711.7 | 707.9 | 701.9 |
| <i>TMAX</i> | 1392.6 | 1710.3 | 1764.8 | 1394.6 | 1712.5 | 1766.9 | 615.0 | 610.0 | 603.5 | 709.9 | 709.9 | 702.8 |
| <i>TMIN</i> | 1738.9 | 1790.4 | 1582.5 | 1741.0 | 1792.4 | 1584.4 | 614.5 | 610.1 | 604.7 | 715.5 | 710.8 | 702.7 |
| <i>IB1</i> | 1266.7 | 1325.5 | 1719.9 | 1268.7 | 1327.5 | 1721.9 | 616.4 | 612.7 | 603.9 | 707.4 | 706.9 | 703.1 |
| <i>IB2</i> | 1810.9 | 1596.5 | 1419.3 | 1812.9 | 1598.4 | 1421.3 | 614.4 | 610.7 | 606.1 | 716.0 | 709.7 | 701.8 |

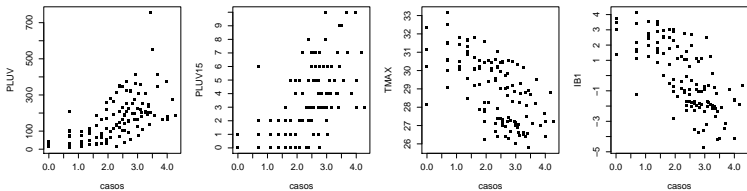
- Os modelos com Binomial Negativa são “melhores” que modelos Poisson.
- Com a distribuição Poisson, os melhores modelos são de 0 ou 1 defassagens.
- Com a distribuição Binomial Negativa, os melhores modelos são os de 2 defassagens.
- Não se identifica uma “melhor” covariável. *IB1* parece ser adequada.
- Alguns problemas no processo de inferência com *TMAX* e *TMIN*.
- Foram testados modelos univariados com intercepto aleatório.

(log)Número de casos: Relação com Clima

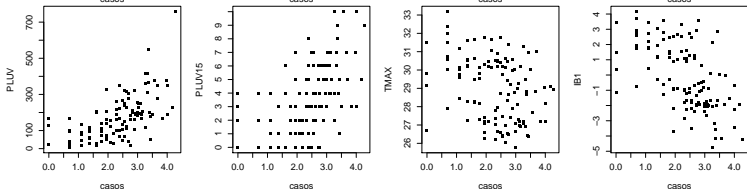


(log)Número de casos: Relação com Clima

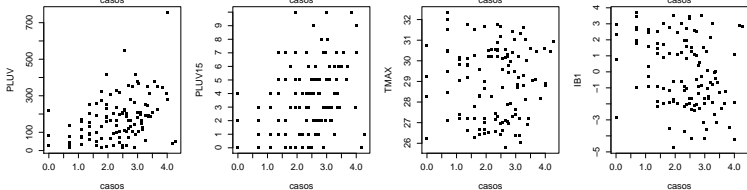
Lag 0



Lag 1



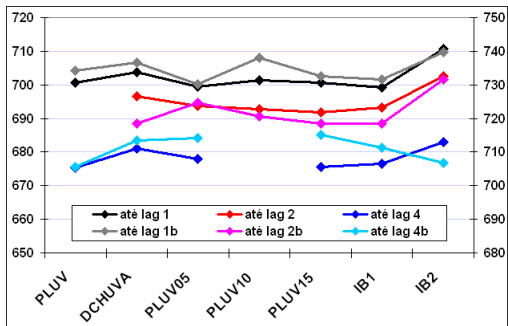
Lag 2



Modelos Multivariados: várias defassagens

| | mean | 2.5% | 50% | 97.5% | Rhat | | mean | 2.5% | 50% | 97.5% | Rhat |
|------------|--------|--------|--------|-------|-------|----------|--------|--------|--------|--------|-------|
| PLUV 0 | 0.003 | 0.002 | 0.003 | 0.004 | 1.001 | PLUV10 0 | 0.122 | 0.084 | 0.122 | 0.164 | 1.023 |
| PLUV 1 | 0.004 | 0.003 | 0.004 | 0.005 | 1.001 | PLUV10 1 | 0.103 | 0.060 | 0.102 | 0.147 | 1.010 |
| PLUV 0 | 0.003 | 0.002 | 0.003 | 0.005 | 1.092 | PLUV10 2 | 0.021 | -0.019 | 0.021 | 0.061 | 1.000 |
| PLUV 1 | 0.003 | 0.002 | 0.003 | 0.004 | 1.060 | PLUV10 3 | 0.022 | -0.018 | 0.022 | 0.065 | 1.002 |
| PLUV 2 | 0.001 | 0.001 | 0.002 | 0.002 | 1.181 | PLUV10 4 | 0.006 | -0.030 | 0.006 | 0.044 | 1.001 |
| PLUV 0 | 0.003 | 0.002 | 0.003 | 0.005 | 1.006 | PLUV15 0 | 0.167 | 0.124 | 0.166 | 0.216 | 1.009 |
| PLUV 1 | 0.003 | 0.002 | 0.003 | 0.005 | 1.001 | PLUV15 1 | 0.172 | 0.122 | 0.172 | 0.216 | 1.001 |
| PLUV 2 | 0.001 | -0.000 | 0.001 | 0.002 | 1.006 | PLUV15 0 | 0.155 | 0.108 | 0.155 | 0.201 | 1.008 |
| PLUV 3 | 0.001 | -0.000 | 0.001 | 0.002 | 1.004 | PLUV15 1 | 0.164 | 0.121 | 0.164 | 0.210 | 1.001 |
| PLUV 4 | 0.000 | -0.001 | 0.000 | 0.001 | 1.001 | PLUV15 2 | 0.064 | 0.025 | 0.063 | 0.105 | 1.003 |
| DCHUVA 0 | 0.073 | 0.049 | 0.074 | 0.098 | 1.003 | PLUV15 0 | 0.161 | 0.119 | 0.161 | 0.204 | 1.008 |
| DCHUVA 1 | 0.050 | 0.026 | 0.050 | 0.072 | 1.085 | PLUV15 1 | 0.145 | 0.100 | 0.145 | 0.192 | 1.002 |
| DCHUVA 0 | 0.068 | 0.041 | 0.069 | 0.095 | 1.005 | PLUV15 2 | 0.053 | 0.010 | 0.054 | 0.097 | 1.003 |
| DCHUVA 1 | 0.061 | 0.036 | 0.061 | 0.085 | 1.009 | PLUV15 3 | 0.039 | -0.004 | 0.039 | 0.082 | 1.005 |
| DCHUVA 2 | -0.016 | -0.038 | -0.016 | 0.008 | 1.002 | PLUV15 4 | 0.003 | -0.035 | 0.003 | 0.042 | 1.001 |
| DCHUVA 0 | 0.061 | 0.035 | 0.060 | 0.086 | 1.012 | IB1 0 | -0.221 | -0.279 | -0.222 | -0.163 | 1.001 |
| DCHUVA 1 | 0.058 | 0.032 | 0.057 | 0.084 | 1.007 | IB1 1 | -0.159 | -0.214 | -0.159 | -0.098 | 1.003 |
| DCHUVA 2 | -0.004 | -0.029 | -0.004 | 0.022 | 1.001 | IB1 0 | -0.216 | -0.283 | -0.217 | -0.151 | 1.001 |
| DCHUVA 3 | -0.005 | -0.029 | -0.005 | 0.020 | 1.002 | IB1 1 | -0.183 | -0.251 | -0.183 | -0.120 | 1.003 |
| DCHUVA 4 | -0.013 | -0.036 | -0.014 | 0.010 | 1.001 | IB1 2 | 0.044 | -0.013 | 0.043 | 0.101 | 1.003 |
| PLUV05 0 | 0.094 | 0.064 | 0.094 | 0.123 | 1.011 | IB1 0 | -0.203 | -0.273 | -0.203 | -0.138 | 1.002 |
| PLUV05 1 | 0.099 | 0.068 | 0.099 | 0.128 | 1.021 | IB1 1 | -0.181 | -0.250 | -0.182 | -0.111 | 1.001 |
| PLUV05 0 | 0.090 | 0.059 | 0.090 | 0.120 | 1.010 | IB1 2 | 0.039 | -0.032 | 0.039 | 0.105 | 1.001 |
| PLUV05 1 | 0.106 | 0.075 | 0.106 | 0.135 | 1.001 | IB1 3 | 0.015 | -0.053 | 0.016 | 0.079 | 1.003 |
| PLUV05 2 | -0.008 | -0.038 | -0.008 | 0.023 | 1.006 | IB1 4 | 0.015 | -0.044 | 0.015 | 0.075 | 1.001 |
| PLUV05 0 | 0.089 | 0.055 | 0.088 | 0.125 | 1.004 | IB2 0 | 0.244 | 0.090 | 0.242 | 0.405 | 1.005 |
| PLUV05 1 | 0.101 | 0.067 | 0.101 | 0.134 | 1.001 | IB2 1 | -0.415 | -0.580 | -0.417 | -0.257 | 1.001 |
| PLUV05 2 | -0.004 | -0.036 | -0.005 | 0.030 | 1.005 | IB2 0 | 0.239 | 0.085 | 0.239 | 0.388 | 1.001 |
| PLUV05 3 | -0.008 | -0.039 | -0.008 | 0.022 | 1.005 | IB2 1 | -0.208 | -0.411 | -0.208 | -0.022 | 1.001 |
| PLUV05 4 | 0.005 | -0.028 | 0.004 | 0.036 | 1.001 | IB2 2 | -0.298 | -0.445 | -0.297 | -0.143 | 1.001 |
| PLUV10 0 | 0.123 | 0.082 | 0.123 | 0.163 | 1.001 | IB2 0 | 0.022 | -0.145 | 0.020 | 0.190 | 1.001 |
| PLUV10 1 | 0.123 | 0.083 | 0.122 | 0.165 | 1.003 | IB2 1 | -0.182 | -0.384 | -0.179 | -0.002 | 1.002 |
| PLUV10 0 | 0.116 | 0.074 | 0.116 | 0.155 | 1.003 | IB2 2 | -0.034 | -0.234 | -0.037 | 0.168 | 1.001 |
| PLUV10 1 | 0.117 | 0.076 | 0.117 | 0.159 | 1.004 | IB2 3 | -0.142 | -0.345 | -0.142 | 0.050 | 1.001 |
| PLUV10 207 | 0.029 | -0.009 | 0.029 | 0.068 | 1.001 | IB2 4 | -0.268 | -0.447 | -0.269 | -0.089 | 1.001 |

DIC para modelos com várias defassagens



| <i>D</i> | PLUV | DCHUVA | PLUV05 | PLUV10 | PLUV15 | IB1 | IB2 | PLUV | DCHUVA | PLUV05 | PLUV10 | PLUV15 | IB1 | IB2 |
|------------|-------|--------|--------|--------|--------|-------|-------|-------------|--------|--------|--------|--------|-------|-------|
| até lag 1 | 613.6 | 611.8 | 612.9 | 613.4 | 614.8 | 613.3 | 612.4 | | | | | | | |
| até lag 2 | | 605.5 | 608.2 | 606.1 | 608.2 | 607.8 | 607.6 | | | | | | | |
| até lag 4 | 593.0 | 593.0 | 596.7 | | 596.9 | 595.9 | 593.0 | | | | | | | |
| <i>pD</i> | | | | | | | | <i>pV</i> | | | | | | |
| até lag 1 | 87.0 | 92.1 | 86.6 | 88.0 | 85.8 | 85.8 | 98.3 | 120.7 | 124.8 | 117.4 | 124.6 | 117.8 | 118.2 | 127.2 |
| até lag 2 | | 91.0 | 85.6 | 86.7 | 83.6 | 85.4 | 95.0 | | 112.9 | 116.6 | 114.6 | 110.4 | 110.8 | 123.9 |
| até lag 4 | 82.4 | 88.1 | 81.1 | | 78.7 | 80.7 | 89.8 | 112.5 | 120.4 | 117.4 | 120.9 | 118.2 | 115.4 | 113.6 |
| <i>DIC</i> | | | | | | | | <i>DICb</i> | | | | | | |
| até lag 1 | 700.6 | 703.8 | 699.5 | 701.4 | 700.6 | 699.2 | 710.8 | 734.2 | 736.6 | 730.3 | 738.0 | 732.7 | 731.5 | 739.7 |
| até lag 2 | | 696.6 | 693.8 | 692.8 | 691.8 | 693.2 | 702.6 | | 718.4 | 724.8 | 720.7 | 718.6 | 718.5 | 731.5 |
| até lag 4 | 675.4 | 681.1 | 677.9 | | 675.6 | 676.5 | 682.9 | 705.6 | 713.5 | 714.1 | | 715.1 | 711.2 | 706.7 |

Sobre el DIC

- **Deviance Information Criterion**, $DIC = \text{'goodness of fit'} + \text{'complexity'}$

- **Ajuste** = Deviance:

$$D(\theta) = -2\log p(\text{data}|\theta)$$

- **Complexidade** = 'effective number of parameters'

$$pD = \bar{D}(\theta) - D(\hat{\theta})$$

- Logo,

$$DIC = \bar{D} + pD$$

- Com priori vaga: $D(\theta) \approx D(\hat{\theta}) + \chi_I^2$. Então,

$$E[D(\theta)] \approx D(\theta) + I(pD \approx I) \quad e \quad Var(D(\theta)) \approx 2I.$$

- pV : alternativa ao pD :

$$pV = 1/2Var(D(\theta))$$

- "Novo" DIC:

$$DIC^* = \bar{D} + pV$$

Modelos multivariados: várias variáveis

| | | mean | 2.5% | 50% | 97.5% | Rhat |
|---|--------|--------|--------|--------|--------|-------|
| A | PLUV | 0.001 | -0.001 | 0.001 | 0.003 | 1.003 |
| | DCHUVA | -0.003 | -0.040 | -0.004 | 0.036 | 1.043 |
| | PLUV05 | -0.006 | -0.083 | -0.004 | 0.064 | 1.022 |
| | PLUV10 | 0.057 | -0.047 | 0.059 | 0.155 | 1.003 |
| | PLUV15 | 0.002 | -0.139 | 0.001 | 0.147 | 1.017 |
| | TMAX | -0.636 | -0.793 | -0.637 | -0.480 | 1.043 |
| | TMIN | 0.630 | 0.426 | 0.633 | 0.839 | 1.049 |
| B | IB1 | -0.299 | -0.367 | -0.299 | -0.236 | 1.011 |
| | IB2 | 0.035 | -0.074 | 0.035 | 0.142 | 1.002 |
| | IB3 | -0.018 | -0.231 | -0.021 | 0.197 | 1.002 |
| | IB4 | -0.092 | -0.388 | -0.096 | 0.225 | 1.002 |
| C | PLUV | 0.001 | -0.001 | 0.001 | 0.003 | 1.002 |
| | PLUV10 | 0.086 | 0.018 | 0.086 | 0.159 | 1.001 |
| | TMAX | -0.239 | -0.318 | -0.238 | -0.159 | 1.001 |

- As variáveis do modelo A tiveram que ser “centralizadas”.
- As variáveis do modelo B estão na sua escala original.
- Falta testar a inclusão de variáveis defassadas.

Modelos multivariados: abordagem “hierárquica”

Tabela: Bloco I

| | mean | 2.5% | 50% | 97.5% | Rhat |
|----------|-------|--------|-------|-------|-------|
| DCHUVA-0 | 0.015 | -0.012 | 0.019 | 0.048 | 1.009 |
| DCHUVA-1 | 0.013 | -0.001 | 0.024 | 0.046 | 1.008 |
| PLUV10-0 | 0.026 | 0.052 | 0.104 | 0.154 | 1.003 |
| PLUV10-1 | 0.025 | 0.034 | 0.084 | 0.133 | 1.011 |
| PLUV-0 | 0.001 | -0.000 | 0.001 | 0.003 | 1.005 |
| PLUV-1 | 0.001 | 0.001 | 0.002 | 0.004 | 1.019 |
| PLUV10-0 | 0.033 | 0.007 | 0.071 | 0.134 | 1.003 |
| PLUV10-1 | 0.031 | 0.004 | 0.060 | 0.125 | 1.015 |
| PLUV-1 | 0.001 | 0.001 | 0.002 | 0.004 | 1.013 |
| PLUV10-0 | 0.020 | 0.083 | 0.121 | 0.161 | 1.010 |
| PLUV10-1 | 0.032 | -0.012 | 0.055 | 0.116 | 1.008 |

Tabela: Bloco II

| | mean | 2.5% | 50% | 97.5% | Rhat |
|--------|--------|--------|--------|--------|-------|
| TMAX-0 | -0.798 | -1.054 | -0.791 | -0.595 | 1.044 |
| TMAX-1 | 0.107 | -0.102 | 0.105 | 0.326 | 1.021 |
| TMIN-0 | 0.640 | 0.320 | 0.631 | 1.008 | 1.018 |
| TMIN-1 | 0.044 | -0.288 | 0.053 | 0.333 | 1.022 |
| TMAX-0 | -0.784 | -0.915 | -0.785 | -0.649 | 1.009 |
| TMIN-0 | 0.793 | 0.592 | 0.796 | 0.988 | 1.009 |
| TMAX-1 | -0.672 | -0.836 | -0.670 | -0.517 | 1.006 |
| TMIN-1 | 0.914 | 0.694 | 0.908 | 1.173 | 1.005 |

Tabela: Bloco III

| | mean | 2.5% | 50% | 97.5% | Rhat |
|-------|--------|--------|--------|--------|-------|
| IB4-0 | -0.097 | -0.382 | -0.094 | 0.202 | 1.001 |
| IB4-1 | 0.133 | -0.108 | 0.132 | 0.403 | 1.002 |
| IB3-0 | 0.020 | -0.242 | 0.021 | 0.294 | 1.001 |
| IB3-1 | -0.070 | -0.314 | -0.071 | 0.175 | 1.001 |
| IB2-0 | 0.250 | 0.089 | 0.250 | 0.405 | 1.004 |
| IB2-1 | -0.431 | -0.595 | -0.434 | -0.269 | 1.001 |
| IB3-1 | -0.186 | -0.409 | -0.184 | 0.024 | 1.001 |
| IB1-0 | -0.193 | -0.260 | -0.193 | -0.127 | 1.005 |
| IB1-1 | -0.174 | -0.263 | -0.173 | -0.082 | 1.005 |
| IB2-0 | -0.040 | -0.222 | -0.041 | 0.148 | 1.004 |
| IB2-1 | -0.145 | -0.302 | -0.144 | 0.002 | 1.002 |
| IB1-0 | -0.176 | -0.240 | -0.176 | -0.112 | 1.002 |
| IB1-1 | -0.230 | -0.309 | -0.230 | -0.157 | 1.002 |
| IB2-0 | -0.187 | -0.302 | -0.187 | -0.073 | 1.001 |
| IB1-0 | -0.199 | -0.260 | -0.199 | -0.141 | 1.001 |
| IB1-1 | -0.158 | -0.216 | -0.159 | -0.102 | 1.001 |
| IB2-1 | -0.170 | -0.265 | -0.170 | -0.078 | 1.002 |

Modelos multivariados: abordagem “hierárquica”

Tabela: Bloco I+II+III

| | mean | 2.5% | 50% | 97.5% | Rhat |
|----------|--------|--------|--------|--------|-------|
| PLUV-1 | 0.002 | 0.001 | 0.002 | 0.004 | 1.030 |
| PLUV10-0 | -0.042 | -0.182 | -0.040 | 0.076 | 1.036 |
| PLUV10-1 | 0.043 | -0.021 | 0.043 | 0.101 | 1.004 |
| TMAX-0 | -0.261 | -0.458 | -0.258 | -0.093 | 1.036 |
| TMIN-0 | -0.082 | -0.225 | -0.080 | 0.057 | 1.026 |
| PLUV-1 | 0.002 | 0.001 | 0.002 | 0.004 | 1.012 |
| PLUV10-0 | 0.111 | 0.070 | 0.111 | 0.151 | 1.009 |
| PLUV10-1 | 0.065 | 0.004 | 0.063 | 0.132 | 1.030 |
| IB2-1 | 0.087 | -0.003 | 0.084 | 0.187 | 1.241 |
| PLUV-1 | 0.002 | 0.001 | 0.002 | 0.004 | 1.006 |
| PLUV10-1 | 0.040 | -0.017 | 0.040 | 0.096 | 1.015 |
| TMAX-0 | -0.205 | -0.268 | -0.204 | -0.144 | 1.001 |
| TMIN-0 | -0.048 | -0.141 | -0.049 | 0.043 | 1.001 |
| PLUV-1 | 0.003 | 0.002 | 0.003 | 0.004 | 1.002 |
| TMAX-0 | -0.223 | -0.283 | -0.222 | -0.168 | 1.002 |
| PLUV-0 | 0.001 | -0.001 | 0.001 | 0.003 | 1.002 |
| PLUV10-0 | 0.086 | 0.018 | 0.086 | 0.159 | 1.001 |
| TMAX-0 | -0.239 | -0.318 | -0.238 | -0.159 | 1.001 |

Tabela: DICs

| | \bar{D} | $D(\theta)$ | pD | DIC | pV | DICb |
|----------------|-----------|-------------|-------|-------|-------|-------|
| Bloco I | | | | | | |
| M01 | 609.1 | 522.2 | 86.8 | 695.9 | 115.7 | 724.7 |
| M02 | 610.6 | 525.3 | 85.4 | 696.0 | 122.3 | 733.0 |
| M03 | 610.2 | 524.7 | 85.5 | 695.7 | 119.4 | 729.6 |
| Bloco II | | | | | | |
| M04 | 609.6 | 526.0 | 83.6 | 693.2 | 125.3 | 734.9 |
| M05 | 609.6 | 525.8 | 83.8 | 693.4 | 116.7 | 726.4 |
| M06 | 610.3 | 517.9 | 92.4 | 702.7 | 127.4 | 737.6 |
| Bloco III | | | | | | |
| M07 | 607.5 | 507.1 | 100.5 | 708.0 | 116.4 | 724.0 |
| M08 | 606.8 | 506.2 | 100.6 | 707.4 | 122.3 | 729.1 |
| M09 | 608.9 | 511.7 | 97.2 | 706.1 | 120.3 | 729.2 |
| M10 | 611.2 | 528.2 | 83.1 | 694.3 | 118.7 | 730.0 |
| M11 | 611.7 | 527.9 | 83.7 | 695.4 | 116.3 | 728.0 |
| M12 | 610.6 | 528.5 | 82.1 | 692.7 | 116.9 | 727.5 |
| Bloco I+II+III | | | | | | |
| M13 | 611.1 | 526.2 | 84.9 | 696.1 | 118.4 | 729.6 |
| M14 | 610.2 | 524.8 | 85.4 | 695.6 | 113.3 | 723.5 |
| M15 | 611.5 | 527.6 | 83.8 | 695.3 | 115.2 | 726.7 |
| M16 | 611.6 | 528.1 | 83.5 | 695.1 | 120.6 | 732.2 |
| M17 | 616.2 | 527.2 | 89.0 | 705.2 | 115.8 | 732.0 |

Modelo selecionado

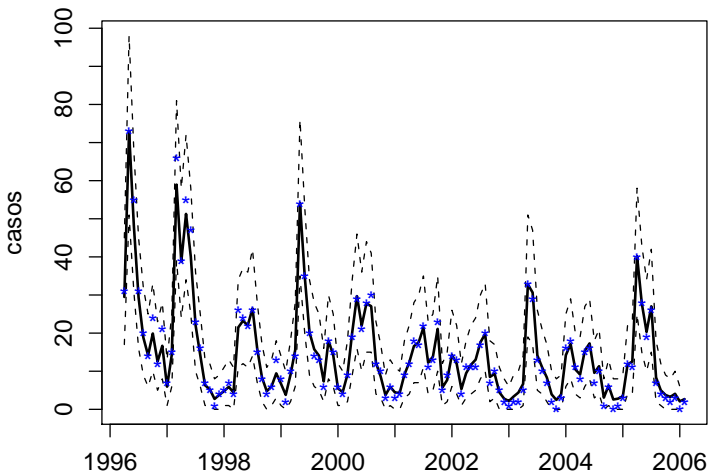
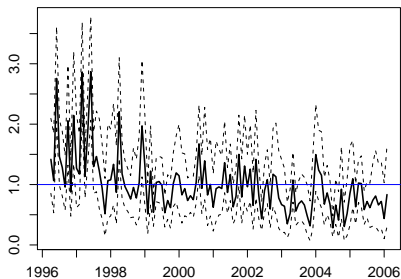
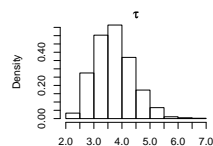
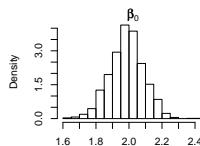
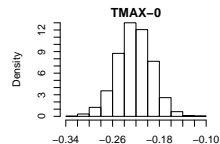
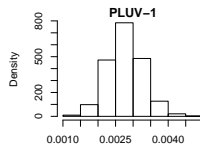


Figura: Valores replicados com modelo M16

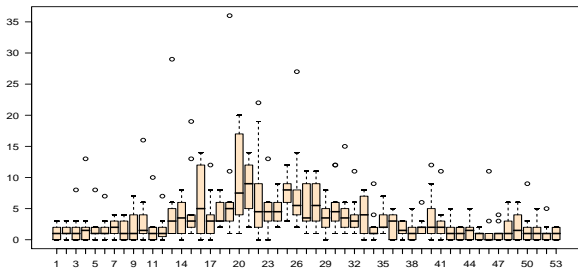
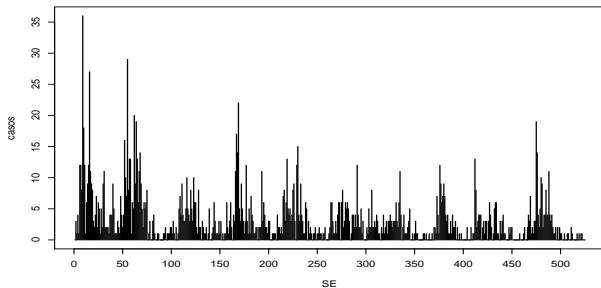
Modelo selecionado

(a) $\delta_t = \mu_t / \lambda_t$ 

(b) Parâmetros fixos

Dados epidemiológicos

Número de casos de leptospirose grave em Salvador entre março de 1996 e março de 2006, por semana epidemiológica



Distribuição dos dados epidemiológicos?

Número de Casos

- Distribuição Poisson?
- Over-dispersion?
- Excesso de zeros?

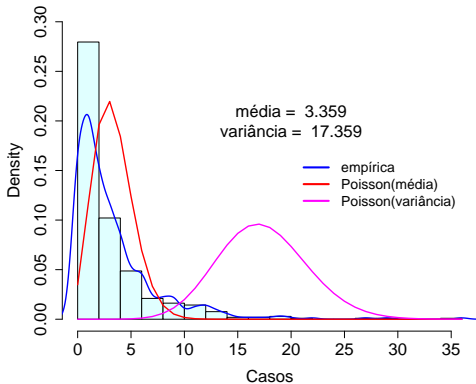
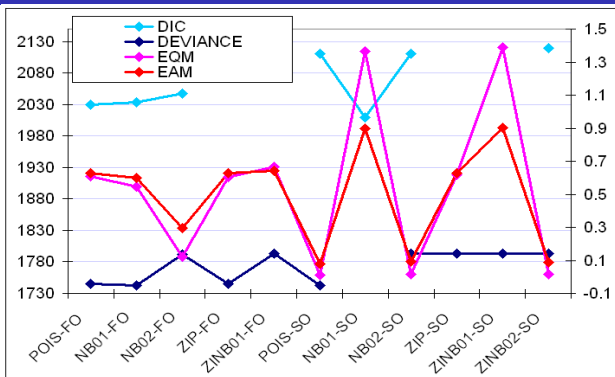


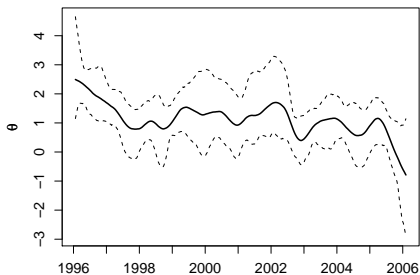
Figura: Casos semanais

Número de Casos: MODELOS DE SÉRIES DE TEMPO

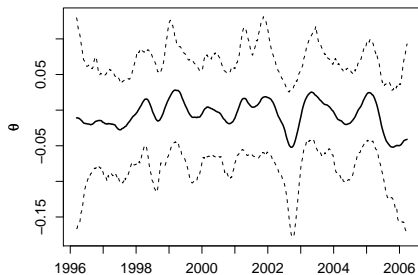


| | EQM | EAM | DEVIANCE | DIC |
|-------------|-------|-------|----------|--------|
| POIS - FO | 0.610 | 0.628 | 1745.4 | 2030.3 |
| NB01 - FO | 0.544 | 0.597 | 1743.3 | 2033.7 |
| NB02 - FO | 0.123 | 0.293 | 1792.0 | 2048.1 |
| ZIP - FO | 0.604 | 0.627 | 1745.7 | |
| ZINB01 - FO | 0.667 | 0.641 | 1793.2 | |
| POIS - SO | 0.012 | 0.081 | 1743.3 | 2111.3 |
| NB01 - SO | 1.363 | 0.896 | | 2010.1 |
| NB02 - SO | 0.016 | 0.092 | 1793.2 | 2111.2 |
| ZIP - SO | 0.617 | 0.630 | 1793.2 | |
| ZINB01 - SO | 1.391 | 0.903 | 1793.2 | |
| ZINB02 - SO | 0.015 | 0.087 | 1793.2 | 2119.2 |

Modelo de Série de Tempo Selecionado



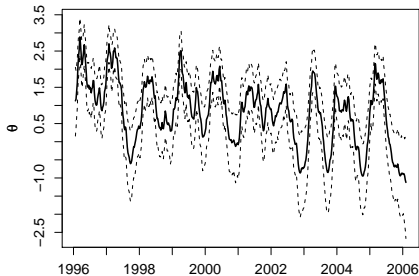
(a) Nível



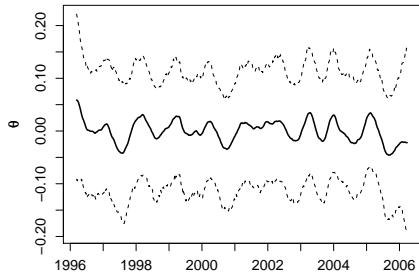
(b) Crescimento

Figura: Poisson Second Order Model: nível, θ_1 e crescimento θ_2 .

Modelo de Série de Tempo



(a) Nível



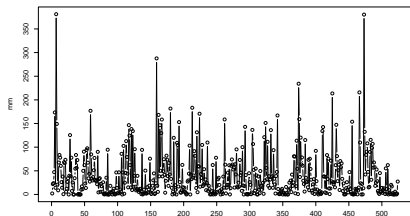
(b) Crescimento

Figura: *Negative Binomial Second Order Model*: nível, θ_1 e crescimento θ_2 .

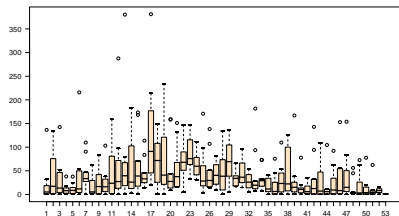
Comentários

- Os modelos de primeira ordem têm menores valores *DIC*. A tendência obtida exibe uma componente sazonal (cíclica).
- Os modelos de segunda ordem têm menores *EAM*.
- Falta testar a inclusão de uma componente sazonal. Vamos representar a sazonalidade com alguma variável climatológica.
- Os resultados são “sensíveis” à parametrização da distribuição binomial negativa utilizada.

Clima: Variáveis climatológicas

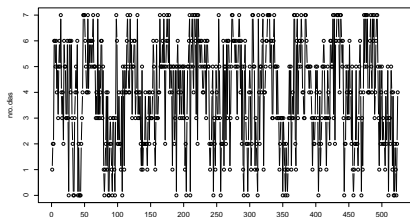


(a) Time series

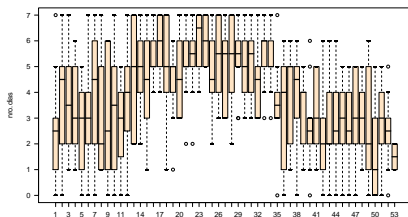


(b) Box-Plot

Figura: Precipitação



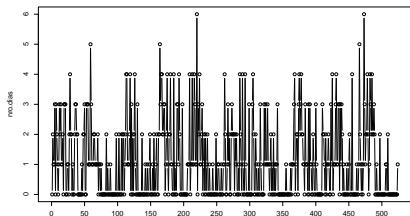
(a) Time series



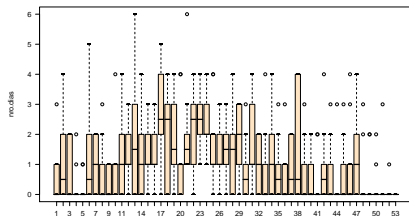
(b) Box-Plot

Figura: Número de Dias com Chuva

Clima: Variáveis climatológicas

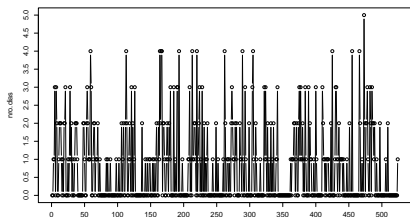


(a) Time series

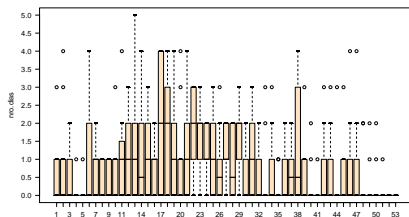


(b) Box-Plot

Figura: Dias com precipitação > 10



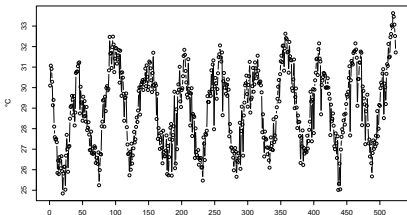
(a) Time series



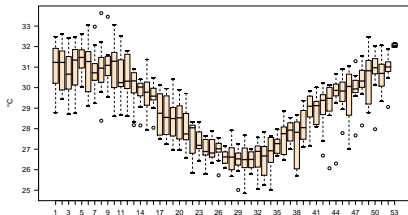
(b) Box-Plot

Figura: Dias com precipitação > 15

Clima: Variáveis climatológicas

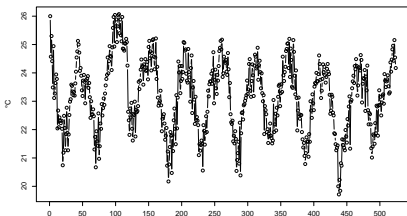


(a)Time series

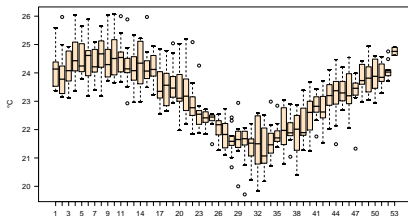


(b)Box-Plot

Figura: Temperatura Máxima



(a)Time series



(b)Box-Plot

Figura: Temperatura Mínima

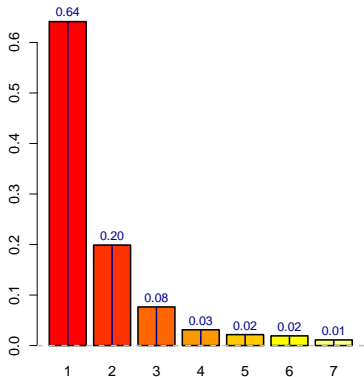
Clima: Componentes Principais

| Correlações | <i>PLUV</i> | <i>DCHUVA</i> | <i>PLUV05</i> | <i>PLUV10</i> | <i>PLUV15</i> | <i>TMAX</i> | <i>TMIN</i> |
|---------------|-------------|---------------|---------------|---------------|---------------|-------------|-------------|
| <i>PLUV</i> | 1 | | | | | | |
| <i>DCHUVA</i> | 0.540 | 1 | | | | | |
| <i>PLUV05</i> | 0.741 | 0.745 | 1 | | | | |
| <i>PLUV10</i> | 0.811 | 0.591 | 0.842 | 1 | | | |
| <i>PLUV15</i> | 0.853 | 0.493 | 0.747 | 0.894 | 1 | | |
| <i>TMAX</i> | -0.379 | -0.565 | -0.508 | -0.444 | -0.396 | 1 | |
| <i>TMIN</i> | -0.227 | -0.425 | -0.368 | -0.295 | -0.251 | 0.838 | 1 |

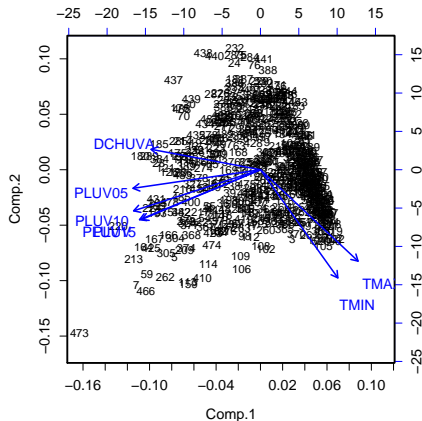
| Loadings | Comp.1 | Comp.2 | Comp.3 | Comp.4 |
|---------------|---------------|---------------|---------------|--------------|
| <i>PLUV</i> | -0.399 | -0.300 | 0.210 | 0.699 |
| <i>DCHUVA</i> | -0.368 | 0.123 | -0.791 | 0.274 |
| <i>PLUV05</i> | -0.428 | -0.112 | -0.283 | -0.485 |
| <i>PLUV10</i> | -0.426 | -0.248 | 0.138 | -0.429 |
| <i>PLUV15</i> | -0.406 | -0.301 | 0.357 | |
| <i>TMAX</i> | 0.328 | -0.552 | -0.157 | -0.112 |
| <i>TMIN</i> | 0.260 | -0.653 | -0.282 | |

| Importance: | Comp.1 | Comp.2 | Comp.3 | Comp.4 |
|------------------------|--------|--------|--------|--------|
| Standard deviation | 2.119 | 1.180 | 0.732 | 0.468 |
| Proportion of Variance | 0.641 | 0.199 | 0.076 | 0.031 |
| Cumulative Proportion | 0.641 | 0.840 | 0.917 | 0.948 |

Clima: Componentes Principais



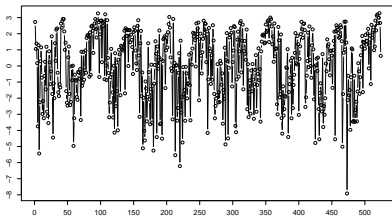
(a) Screeplot



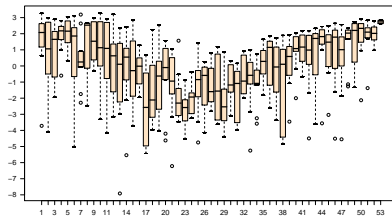
(b) Biplot

Figura: Índice de Clima

Clima: Componentes Principais

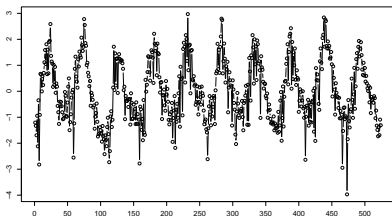


(a) Time series

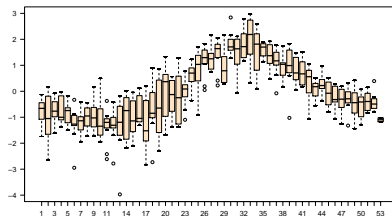


(b) Box-Plot

Figura: Índice de Clima 1



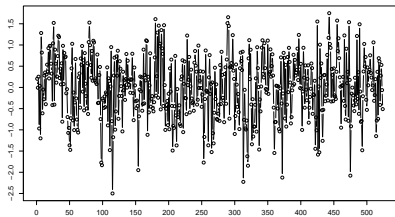
(a) Time series



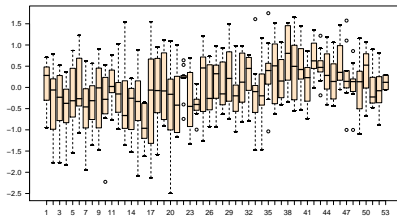
(b) Box-Plot

Figura: Índice de Clima 2

Clima: Componentes Principais

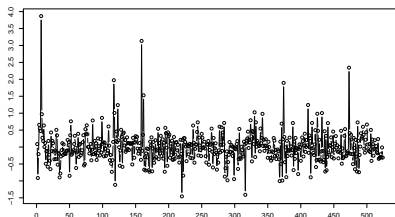


(a) Time series

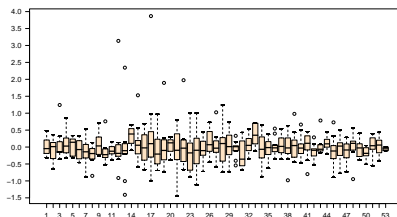


(b) Box-Plot

Figura: Índice de Clima 3



(a) Time series

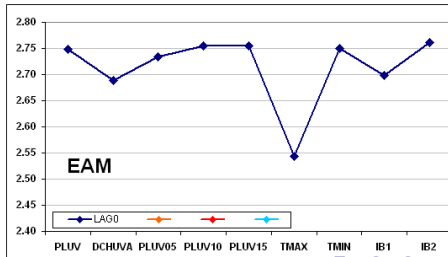
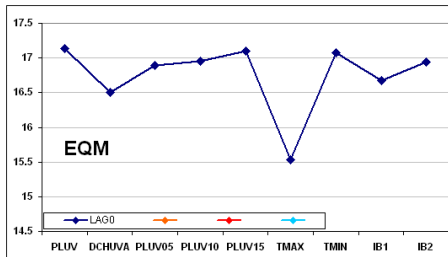
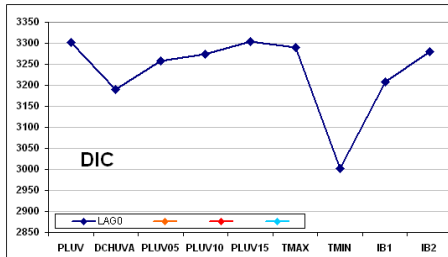
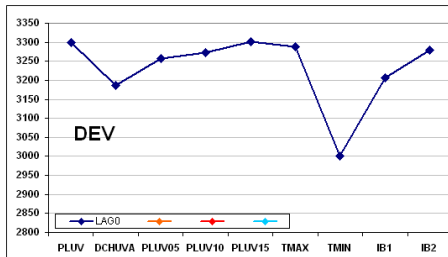


(b) Box-Plot

Figura: Índice de Clima 4

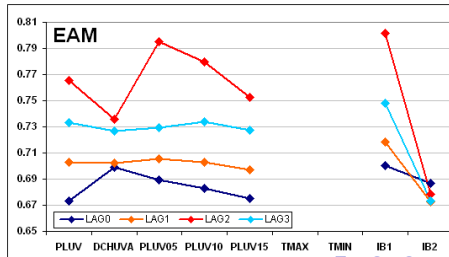
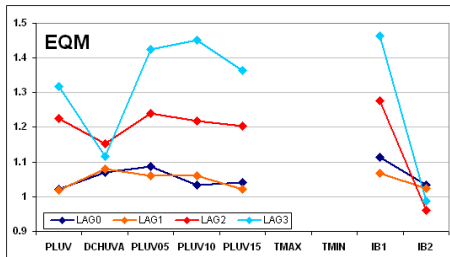
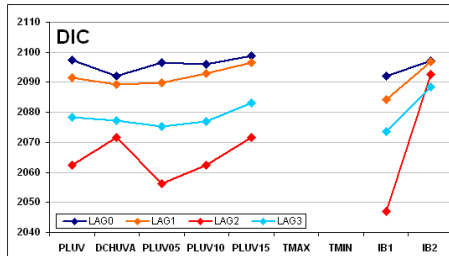
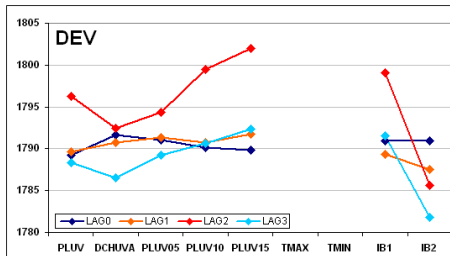
Número de casos:

MODELOS DE REGRESSÃO POISSON UNIVARIADOS



Número de casos:

MODELOS DE REGRESSÃO BINOMIAL NEGATIVA UNIVARIADOS

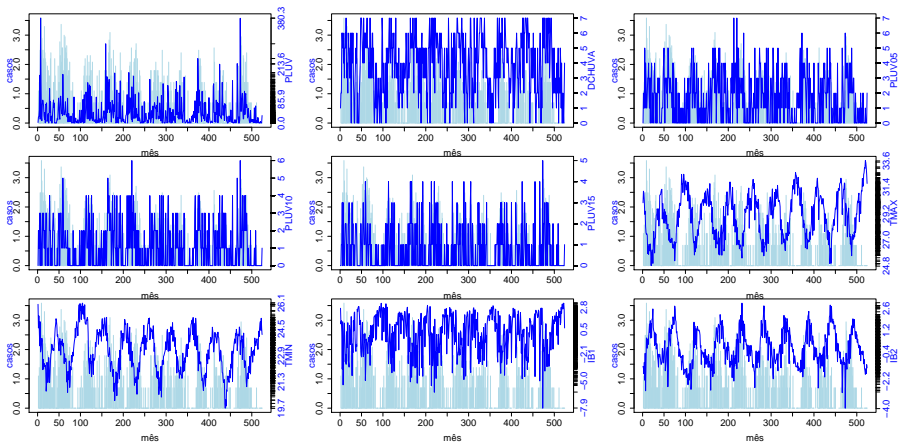


Comparação de Modelos Univariados

| | Poisson | | Binomial Negativa | | | | | | | |
|---------------|---------|--------|-------------------|--------|--------|--------|--------|--------|--------|--------|
| | EQM | EAM | EQM | | | | EAM | | | |
| | LAG0 | LAG0 | LAG0 | LAG1 | LAG2 | LAG3 | LAG0 | LAG1 | LAG2 | LAG3 |
| <i>PLUV</i> | 17.130 | 2.748 | 1.021 | 1.020 | 1.225 | 1.318 | 0.673 | 0.703 | 0.766 | 0.733 |
| <i>DCHUVA</i> | 16.500 | 2.689 | 1.070 | 1.081 | 1.152 | 1.116 | 0.699 | 0.702 | 0.736 | 0.727 |
| <i>PLUV05</i> | 16.897 | 2.734 | 1.087 | 1.060 | 1.239 | 1.424 | 0.689 | 0.705 | 0.795 | 0.729 |
| <i>PLUV10</i> | 16.956 | 2.755 | 1.034 | 1.060 | 1.218 | 1.450 | 0.683 | 0.703 | 0.780 | 0.734 |
| <i>PLUV15</i> | 17.097 | 2.754 | 1.040 | 1.022 | 1.204 | 1.364 | 0.675 | 0.697 | 0.752 | 0.728 |
| <i>TMAX</i> | 15.528 | 2.544 | | | | | | | | |
| <i>TMIN</i> | 17.077 | 2.751 | | | | | | | | |
| <i>IB1</i> | 16.674 | 2.698 | 1.113 | 1.067 | 1.277 | 1.464 | 0.700 | 0.718 | 0.802 | 0.748 |
| <i>IB2</i> | 16.941 | 2.762 | 1.033 | 1.024 | 0.962 | 0.988 | 0.687 | 0.673 | 0.679 | 0.673 |
| | DEV | DIC | DEV | | | | DIC | | | |
| | LAG0 | LAG0 | LAG0 | LAG1 | LAG2 | LAG3 | LAG0 | LAG1 | LAG2 | LAG3 |
| <i>PLUV</i> | 3299.2 | 3301.1 | 1789.2 | 1789.6 | 1796.3 | 1788.3 | 2097.4 | 2091.6 | 2062.4 | 2078.5 |
| <i>DCHUVA</i> | 3187.3 | 3189.3 | 1791.6 | 1790.7 | 1792.5 | 1786.6 | 2092.0 | 2089.4 | 2071.5 | 2077.3 |
| <i>PLUV05</i> | 3257.0 | 3259.0 | 1791.1 | 1791.3 | 1794.4 | 1789.2 | 2096.6 | 2089.9 | 2056.2 | 2075.2 |
| <i>PLUV10</i> | 3272.2 | 3274.3 | 1790.1 | 1790.8 | 1799.5 | 1790.6 | 2095.9 | 2093.0 | 2062.5 | 2076.9 |
| <i>PLUV15</i> | 3302.3 | 3304.2 | 1789.9 | 1791.8 | 1802.0 | 1792.3 | 2098.7 | 2096.7 | 2071.7 | 2083.0 |
| <i>TMAX</i> | 3287.2 | 3289.1 | | | | | | | | |
| <i>TMIN</i> | 2999.9 | 3002.1 | | | | | | | | |
| <i>IB1</i> | 3205.4 | 3207.4 | 1791.0 | 1789.3 | 1799.1 | 1791.5 | 2092.0 | 2084.2 | 2046.9 | 2073.6 |
| <i>IB2</i> | 3278.3 | 3280.3 | 1790.9 | 1787.5 | 1785.7 | 1781.8 | 2097.2 | 2096.8 | 2092.6 | 2088.4 |

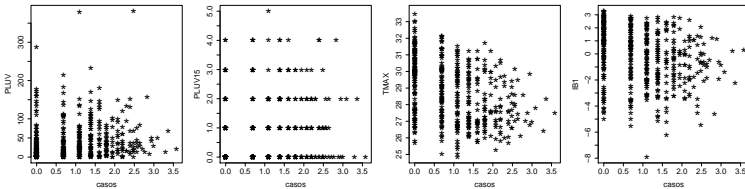
- Os modelos com Binomial Negativa são “melhores” que modelos Poisson.
- Com a distribuição Binomial Negativa, os melhores modelos são os de 2 defassagens.
- As “melhores” covariáveis são *PLUV* e *IB2*.
- Alguns problemas no processo de inferência com *TMAX* e *TMIN*.

(log)Número de casos: Relação com Clima

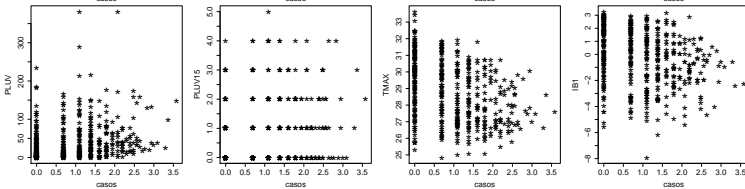


(log)Número de casos: Relação com Clima

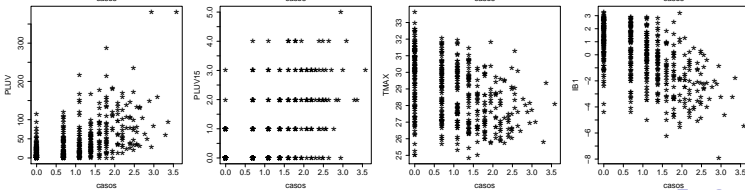
Lag 0



Lag 1



Lag 2

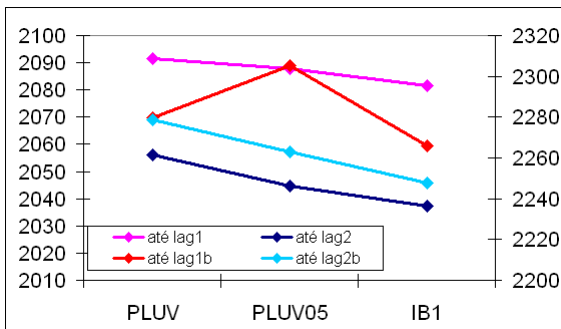


Modelos Multivariados: várias defassagens

| | mean | 2.5% | 50% | 97.5% | Rhat |
|----------|--------|--------|--------|--------|-------|
| IB1-0 | -0.097 | -0.146 | -0.097 | -0.050 | 1.000 |
| IB1-1 | -0.156 | -0.206 | -0.156 | -0.106 | 1.000 |
| PLUV-0 | 0.003 | 0.001 | 0.003 | 0.005 | 1.005 |
| PLUV-1 | 0.005 | 0.003 | 0.005 | 0.008 | 1.003 |
| PLUV05-0 | 0.108 | 0.045 | 0.107 | 0.170 | 1.005 |
| PLUV05-1 | 0.196 | 0.133 | 0.195 | 0.258 | 1.001 |
| IB1-0 | -0.064 | -0.104 | -0.064 | -0.023 | 1.001 |
| IB1-1 | -0.062 | -0.106 | -0.062 | -0.018 | 1.001 |
| IB1-2 | -0.268 | -0.308 | -0.267 | -0.229 | 1.001 |
| PLUV-0 | 0.002 | 0.000 | 0.002 | 0.004 | 1.004 |
| PLUV-1 | 0.003 | 0.001 | 0.003 | 0.005 | 1.001 |
| PLUV-2 | 0.011 | 0.009 | 0.011 | 0.013 | 1.013 |
| PLUV05-0 | 0.071 | 0.017 | 0.071 | 0.124 | 1.003 |
| PLUV05-1 | 0.119 | 0.063 | 0.118 | 0.174 | 1.002 |
| PLUV05-2 | 0.342 | 0.287 | 0.342 | 0.394 | 1.012 |

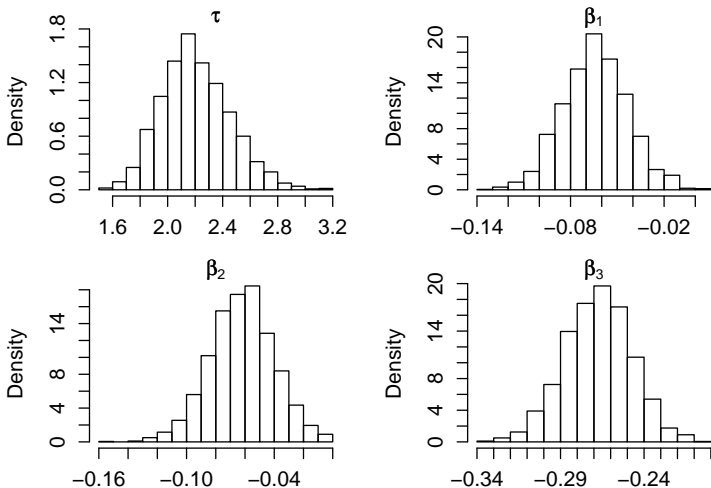
- Todos os parâmetros são significativos.
- Testar mais defassagens.

DIC para modelos com várias defassagens



| <i>D</i> | <i>PLUV</i> | <i>PLUV05</i> | <i>IB1</i> | <i>PLUV</i> | <i>PLUV05</i> | <i>IB1</i> |
|------------|-------------|---------------|------------|-------------|---------------|------------|
| até lag1 | 1790.2 | 1790.7 | 1789.9 | | | |
| até lag2 | 1794.2 | 1789.9 | 1794.5 | | | |
| <i>pD</i> | | | | <i>pV</i> | | |
| até lag1 | 301.3 | 297.0 | 291.7 | 489.5 | 514.6 | 476.2 |
| até lag2 | 262.0 | 254.7 | 242.9 | 484.5 | 473.1 | 453.3 |
| <i>DIC</i> | | | | <i>DICb</i> | | |
| até lag1 | 2091.5 | 2087.7 | 2081.7 | 2279.7 | 2305.3 | 2266.1 |
| até lag2 | 2056.1 | 2044.6 | 2037.4 | 2278.7 | 2263.0 | 2247.8 |

Modelo selecionado*

Figura: Efeitos Fixos no modelo Binomial Negativos, com $IB1(0)$, $IB1(-1)$ e $(IB2(-2))$.

Regionalização de áreas: o **Skater**

- **Objetivo:** Agrupar áreas menores (municípios, bairros, setores) em áreas maiores, que além de serem contíguas, tenham também semelhança segundo os atributos associados.

O método **SKATER**

Análise de conglomerados que leva em conta a localização espacial dos objetos. “Trata-se de uma situação em que temos um mapa particionado em áreas, cada uma delas com uma posição geográfica determinada, e desejamos que áreas com características semelhantes pertençam ao mesmo conglomerado espacial. Estas características são dadas pelas variáveis medidas”

- O método **Skater** está implementado en el **Terraview**.

Regionalização de áreas: o Skater

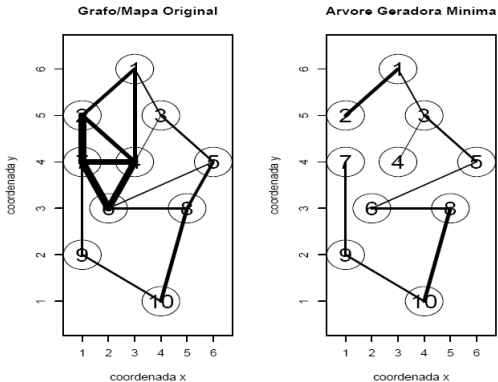


Figura 3: Grafo de mapa com 10 áreas com arestas proporcionais ao seu custo e sua árvore geradora mínima.

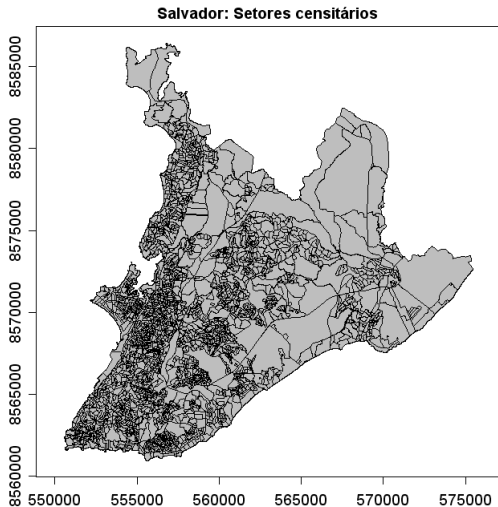
Variáveis disponíveis

Características dos setores censitários: Censo 2000.

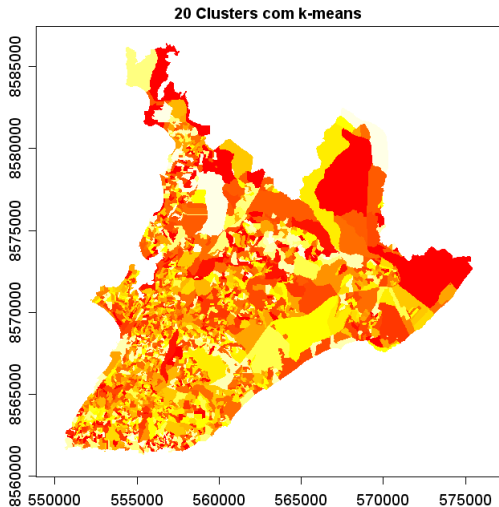
| | |
|--|---|
| Domicílio | % dpp com abastecimento de água da rede geral |
| | % dpp com abastecimento de água de poço ou nascente (na propriedade) |
| | % dpp com abastecimento de água de outra forma (nem rede geral nem poço ou nascente) |
| | % dpp com banheiro ou sanitário |
| | % dpp sem banheiro ou sanitário |
| | % dpp com banheiro ou sanitário - esgotamento sanitário - rede geral de esgoto ou pluvial |
| | % dpp com banheiro ou sanitário - esgotamento sanitário - fossa séptica ou rudimentar |
| | % dpp com banheiro ou sanitário - esgotamento sanitário - vala, rio, lago, mar ou outro |
| | % dpp com destino do lixo coletado |
| | Chefe |
| % dpp com homens responsáveis (chefes) | |
| % dpp com pessoas responsáveis alfabetizadas | |
| % dpp com homens responsáveis alfabetizados | |
| % dpp com mulheres responsáveis alfabetizadas | |
| % dpp com pessoas responsáveis não alfabetizadas | |
| % dpp com homens responsáveis não alfabetizados | |
| % dpp com mulheres responsáveis não alfabetizadas | |
| % dpp com pessoas responsáveis com até 1 ano de estudo | |
| % dpp com homens responsáveis com até 1 ano de estudo | |
| % dpp com mulheres responsáveis com até 1 ano de estudo | |
| % dpp com pessoas responsáveis com até 1 salário mínimo | |
| Anos de estudo da pessoas responsáveis pelos domicílios particulares permanentes | |
| Rendimento nominal mensal das pessoas responsáveis pelos dpp | |
| Residentes | Pessoas residentes nos dpp |
| | Homens residentes nos dpp |
| | Mulheres residentes nos dpp |
| | % de mulheres residentes nos dpp |
| | % de pessoas residentes com até 5 anos de idade |
| | % de pessoas residentes com até 4 anos de idade |
| | % de pessoas residentes alfabetizadas |
| | % de pessoas residentes não alfabetizadas |

dpp=domicílios particulares permanentes

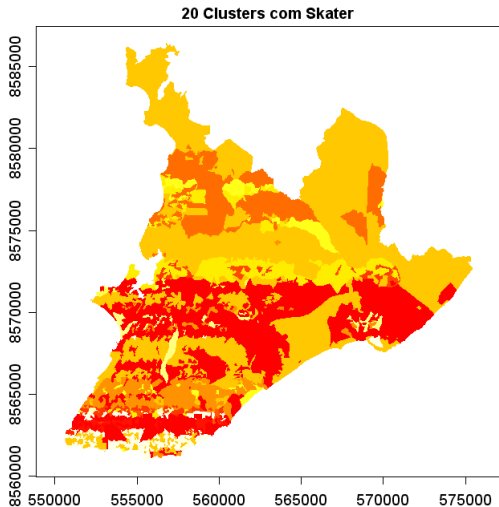
Regionalização de áreas



Regionalização de áreas



Regionalização de áreas



Regionalização de áreas: o Skater

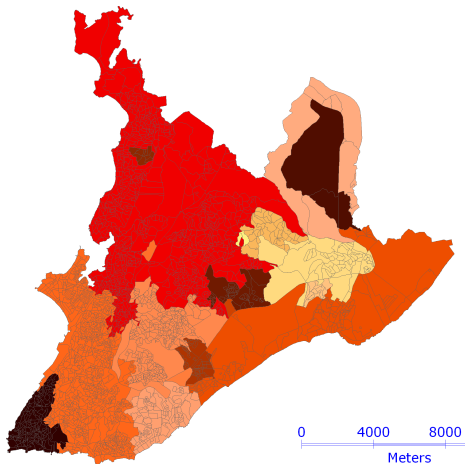


Figura: Skater no Terraview: todas as variáveis

Regionalização de áreas: o Skater

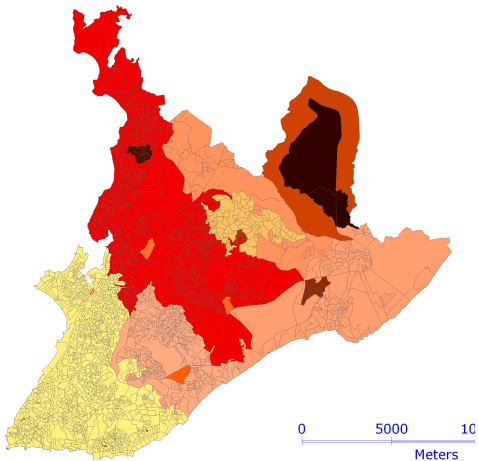


Figura: Skater no Terraview: somente variáveis sobre domicílio

Regionalização de áreas

- Número de setores em cada cluster -

| | | | | | | | | | | |
|-------------|-----|-----|-----|-----|-----|-----|-----|-----|-----|-----|
| Cluster | 1 | 2 | 3 | 4 | 5 | 6 | 7 | 8 | 9 | 10 |
| Nro Setores | 747 | 43 | 2 | 61 | 13 | 11 | 120 | 1 | 275 | 1 |
| Cluster | 11 | 12 | 13 | 14 | 15 | 16 | 17 | 18 | 19 | 20 |
| Nro Setores | 1 | 833 | 1 | 143 | 1 | 45 | 10 | 45 | 3 | 160 |
| Cluster | 1 | 2 | 3 | 4 | 5 | 6 | 7 | 8 | 9 | 10 |
| Nro Setores | 167 | 67 | 4 | 127 | 247 | 103 | 254 | 36 | 27 | 182 |
| Cluster | 11 | 12 | 13 | 14 | 15 | 16 | 17 | 18 | 19 | 20 |
| Nro Setores | 165 | 149 | 106 | 104 | 199 | 7 | 116 | 145 | 233 | 58 |